

УДК 532.5

ВЕРТИКАЛЬНОЕ ПОГРУЖЕНИЕ ПЛАВАЮЩЕГО ЦИЛИНДРИЧЕСКОГО ТЕЛА

В. Н. ШАЦ

(Ленинград)

Работа посвящена исследованию безвихревого движения идеальной несжимаемой жидкости при вертикальном погружении цилиндрического тела. В отличие от задач об ударе [¹] и входе тела в воду [²] в статье изучается случай непрерывного погружения с изменением формы свободной поверхности, но при постоянной ширине смоченной поверхности тела. Рассыкаются коэффициенты степенных рядов по времени для потенциала скорости, уравнения свободной поверхности и давления на тело при учете всех членов в уравнении Коши — Лагранжа.

Приведены результаты расчетов в случае погружения днища с эллиптической формой подводной части.

1. На поверхности покоящейся жидкости плавает цилиндрическое тело, подводная часть которого ограничена гладкой и симметричной кривой ABC $y = y_1(x)$; в точках A и C тело имеет вертикальные стенки. Погружение происходит со скоростью $v(t)$ при $t \geq 0$.

Рассматривается идеальная и несжимаемая жидкость. Потенциал скорости $\varphi(x, y, t)$ удовлетворяет уравнению

$$\frac{\partial^2 \varphi}{\partial x^2} + \frac{\partial^2 \varphi}{\partial y^2} = 0 \quad (1.1)$$

Предполагая обтекание тела безотрывным, получим на поверхности тела (n — внешняя нормаль к кривой ABC)

$$\frac{\partial \varphi}{\partial n} = v_n(t) \quad \left(y = y_1 - \int_0^t v(\tau) d\tau \right) \quad (1.2)$$

На свободной поверхности жидкости $y = \eta(x, t)$ выполняются динамическое и кинематическое условия (g — ускорение силы тяжести)

$$\begin{aligned} \frac{\partial \varphi}{\partial t} + g\eta + \frac{1}{2} \left(\frac{\partial \varphi}{\partial x} \right)^2 + \frac{1}{2} \left(\frac{\partial \varphi}{\partial y} \right)^2 &= 0 \\ \frac{\partial \eta}{\partial t} + \frac{\partial \eta}{\partial x} \frac{\partial \varphi}{\partial x} &= \frac{\partial \varphi}{\partial y} \end{aligned} \quad (1.3)$$

Система (1.3) при $t = 0$ и $\sqrt{x^2 + y^2} \rightarrow \infty$ имеет начальные и граничные условия $\eta = \varphi = 0$.

2. Решение ищем методом малого параметра, в качестве которого принимаем время t .

Рассмотрим следующие ряды:

$$\varphi = \sum_{k=0}^{\infty} t^k \varphi_k(x, y), \quad \eta = \sum_{j=1}^{\infty} t^j r_j(x), \quad v = \sum_{m=0}^{\infty} t^m \frac{d^m v(0)}{dt^m} \quad (2.1)$$

Здесь φ_k и r_j — неизвестные функции. Из (1.1) и (2.1) следует, что φ_k — гармонические функции. Разложим φ_k в ряд Тейлора в окрестности кривой L , ограничивающей сверху область D , занятую невозмущенной

жидкостью в начальный момент времени. При этом выполняются соотношения

$$\begin{aligned}\frac{\partial \varphi}{\partial t} &= \sum_{k=1}^{\infty} k t^{k-1} \sum_{s=0}^{\infty} \frac{(y - y_0)^s}{s!} \frac{\partial^s \varphi_k(y_0)}{\partial y^s} \\ \frac{\partial \varphi}{\partial q} &= \sum_{k=0}^{\infty} t^k \sum_{s=0}^{\infty} \frac{(y - y_0)^s}{s!} \frac{\partial^{s+1} \varphi_k(y_0)}{\partial q \partial y^s}\end{aligned}\quad (2.2)$$

Здесь q — один из векторов x, y или n ; $y = y_0(x)$ — уравнение кривой L . Поскольку на кривой ABC $y_0 = y_1(x)$, а на свободной поверхности $y_0 = 0$, то

$$\begin{aligned}y - y_0 &= - \sum_{m=0}^{\infty} \frac{t^{m+1}}{m+1} \frac{d^m v(0)}{dt^m}, \quad |x| \leq l \\ y - y_0 &= \sum_{j=1}^{\infty} t^j r_j(x), \quad |x| > l \quad (l = AC/2)\end{aligned}\quad (2.3)$$

Краевые условия для φ_k на границе L и значения r_j определяются путем подстановки рядов (2.2), (2.3) в уравнения (1.2), (1.3) и приравнивания коэффициентов при одинаковых степенях t .

Соответствующие зависимости для нескольких первых значений k и m имеют вид.

При $|x| \leq l$

$$\begin{aligned}\frac{\partial \varphi_0}{\partial n} &= v_n(0), \quad \frac{\partial \varphi_1}{\partial n} = v_n(0) \frac{\partial^2 \varphi_1}{\partial y \partial n} + \frac{dv_n(0)}{dt} \\ \frac{\partial \varphi^2}{\partial n} &= \frac{1}{2} \frac{d^2 v_n(0)}{dt^2}, \quad \frac{\partial \varphi_3}{\partial n} = \frac{1}{2} \frac{dv_n(0)}{dt} \frac{\partial^2 \varphi_1}{\partial y \partial n} + \frac{1}{6} \frac{d^3 v_n(0)}{dt^3}\end{aligned}\quad (2.4)$$

при $|x| > l$

$$\begin{aligned}\varphi_0 &= 0, \quad \varphi_1 = - \frac{1}{2} \left(\frac{\partial \varphi_0}{\partial x} \right)^2 - \frac{1}{2} \left(\frac{\partial \varphi_0}{\partial y} \right), \quad \varphi_2 = 0 \\ \varphi_3 &= - \frac{1}{6} \left[\left(\frac{\partial \varphi_1}{\partial x} \right)^2 + \left(\frac{\partial \varphi_1}{\partial y} \right)^2 + g \frac{\partial \varphi_1}{\partial y} \right]\end{aligned}\quad (2.5)$$

$$\begin{aligned}r_1 &= \frac{\partial \varphi_0}{\partial y}, \quad r_2 = \frac{1}{2} \left(\frac{\partial \varphi_1}{\partial y} + \frac{\partial \varphi_0}{\partial y} \frac{\partial^2 \varphi_0}{\partial y^2} - \frac{\partial \varphi_0}{\partial x} \frac{\partial^2 \varphi_0}{\partial y \partial x} \right) \\ r_3 &= \frac{1}{3} \frac{\partial \varphi_2}{\partial y}\end{aligned}$$

Зависимости φ_2 , φ_3 и r_3 в (2.4), (2.5) вычислены при $v(0) = 0$.

Краевые условия (2.4) позволяют проследить связь явлений удара и погружения. Согласно [1] φ_0 есть потенциал скорости при ударе тела со скоростью $v(0)$. В этом случае нарушается непрерывность функций φ и v при $t = 0$; ряды (2.1) и последующие разложения будут справедливы при $t > 0$. Из (2.4) следует также: если $d^m v(0) / dt^m = 0$ при всех $m < \lambda$, то φ_λ равен потенциальну скорости при ударе тела со скоростью, численно равной $\lambda d^\lambda v(0) / dt^\lambda$, а $\varphi_k = 0$ при всех $k < \lambda$.

Для отыскания φ_k конформно отобразим область D на нижнюю полуплоскость $\zeta = u + iv$ с помощью функций $z = z(\zeta)$ ($z = x + iy$), обеспечив переход кривой ABC в отрезок $(-1, 1)$ оси u . Значение нормальной произ-

водной к кривой ABC может быть вычислено согласно выражению

$$\frac{\partial \varphi_k(\zeta)}{\partial v} = -\left. \frac{\partial \varphi_k}{\partial n} \right|_{z=z(\zeta)} \left| \frac{dz}{d\zeta} \right| \quad (2.6)$$

Формула Келдыша — Седова [3] позволяет последовательно вычислить функции $\partial \Phi_k / \partial \zeta$ ($\text{Re } \Phi_k = \varphi_k$) при $k = 0, 1, 2, \dots$ в классе функций, имеющих интегрируемую особенность при $|u| = 1$. Поскольку $\partial \varphi_k / \partial u$ — нечетная функция, а $\partial \varphi_k / \partial v$ — четная, эта формула преобразуется к виду

$$\frac{\partial \Phi_k}{\partial \zeta} = \frac{2\zeta}{\pi \sqrt{\zeta^2 - 1}} \left\{ i \int_1^\infty \frac{\sqrt{\tau^2 - 1}}{\tau^2 - \zeta^2} \frac{\partial \varphi_k}{\partial u} d\tau + \int_0^1 \frac{\sqrt{\tau^2 - 1}}{\tau^2 - \zeta^2} \frac{\partial \varphi_k}{\partial v} d\tau \right\} \quad (2.7)$$

$$\varphi_k = \text{Re} \int_0^\zeta \frac{\partial \Phi_k}{\partial \zeta} d\tau \quad (2.8)$$

Давление на тело $p(x, t)$ определяется согласно интегралу Коши — Лагранжа. Коэффициенты разложения (ρ — массовая плотность)

$$p = \rho \sum_{h=0}^{\infty} t^h p_h(x) \quad (2.9)$$

можно аналогично получить, используя (2.2), (2.3). Первые из коэффициентов имеют вид

$$-p_0 = \varphi_1 + gy_1 + \frac{1}{2} \left(\frac{\partial \varphi_0}{\partial x} \right)^2 + \frac{1}{2} \left(\frac{\partial \varphi_0}{\partial y} \right)^2, \quad -p_1 = 2\varphi_2 \quad (2.10)$$

$$-p_2 = 3\varphi_3 - \frac{1}{2} \frac{dv(0)}{dt} \frac{\partial \varphi_1}{\partial y} - \frac{g}{2} \frac{dv(0)}{dt} + \frac{1}{2} \left(\frac{\partial \varphi_1}{\partial x} \right)^2 + \frac{1}{2} \left(\frac{\partial \varphi_1}{\partial y} \right)^2$$

Формулы для p_1 и p_2 вычислены при $v(0) = 0$. В случае удара тела при $t_+ = 0$ помимо ρp_0 будет действовать давление с импульсом [1] $p_i = -\rho \varphi_0$.

3. Полученные результаты использованы при рассмотрении случая, когда ABC — дуга эллипса с горизонтальной осью AC и вертикальной полусосью, равной βl при $\beta \in (0, \infty)$. Соответствующие зависимости имеют вид

$$z = l(\zeta + \beta \sqrt{\zeta^2 - 1}), \quad \Phi_0 = il(\zeta - \sqrt{\zeta^2 - 1})v(0)$$

$$\Phi_2 = \frac{il}{2}(\zeta - \sqrt{\zeta^2 - 1}) \frac{d^2 v(0)}{dt^2} \quad (3.1)$$

Поскольку

$$\frac{d\Phi_0}{dz} = -v(0) \frac{i[(1+\beta)\zeta^2 - 1] - (1+\beta)\zeta \sqrt{1-\zeta^2}}{1-c^2\zeta^2}$$

то краевые условия (2.4) согласно (2.6) и (3.1) приводятся к виду

$$\begin{aligned} \frac{\partial \varphi_1}{\partial v} &= v^2(0)A(u) - l\omega, \quad \frac{\partial \varphi_3}{\partial v} = \frac{\omega^2}{2}A(u) - \frac{l}{6} \frac{d^3 v(0)}{dt^3} \quad (|u| \leq 1) \\ \varphi_1 &= -\frac{v^2(0)}{2}B^2(u), \quad \varphi_3 = -\frac{\omega^2}{6}B(u)(2B(u) + g) \quad (|u| > 1) \\ A(u) &= (1+\beta) \frac{1-2u^2+c^2u^2}{(1-c^2u^2)^2\sqrt{1-u^2}}, \quad \omega = \frac{dv(0)}{dt} \end{aligned} \quad (3.2)$$

$$B(u) = \frac{(1+\beta)u^2 - (1+\beta)u\sqrt{u^2-1} - 1}{1-c^2u^2}, \quad c^2 = 1-\beta^2$$

После подстановки полученных краевых условий в (2.7) и вычисления интегралов имеем

$$\begin{aligned} \frac{d\Phi_1}{d\xi} = & \frac{(1+\beta)v^2(0)}{\pi} \frac{\xi}{(1-c^2\xi^2)^3\sqrt{1-\xi^2}} \left\{ [(4-\beta)c^4\xi^4 - \right. \\ & - 2(4-4\beta-4\beta^2+\beta^3)c^2\xi^2 + (4-7\beta-8\beta^2+10\beta^3)] \frac{1}{2c(1-\beta)} \ln \frac{1+c}{1-c} - \\ & - [(1+\beta)(2+\beta+2\beta^2-\beta^3)\xi^4 - (4+3\beta+3\beta^2)\xi^2 + 2] \frac{1}{\xi} \ln \frac{1+\xi}{1-\xi} + \\ & + \frac{1-c^2\xi^2}{\beta(1-\beta)} [(1+4\beta-2\beta^2)c^2\xi^2 - (1+4\beta-6\beta^2)] + \\ & \left. + \frac{\pi i}{\xi} [-(1-\beta^4)\xi^4 + 2\xi^2 - 1] - \pi\sqrt{1-\xi^2} [(1+\beta)^3\xi^2 - (1+3\beta)] \right\} + \\ & + \omega l \left(i + \frac{\xi}{\sqrt{1-\xi^2}} \right) \end{aligned} \quad (3.3)$$

$$\begin{aligned} \frac{d\Phi_3}{d\xi} = & \frac{1+\beta}{3\pi} \omega^2 \frac{\xi}{(1-c^2\xi^2)^3\sqrt{1-\xi^2}} \left\{ \frac{1}{2\xi} \ln \frac{1+\xi}{1-\xi} [(3\beta^4-4\beta^3-12\beta^2-12\beta - \right. \\ & - 7-a(1-\beta^4))\xi^4 + 2(7+a+6\beta+6\beta^2)\xi^2 - (7+a)] + \frac{1}{2c(1-\beta)} \times \\ & \times \ln \frac{1+c}{1-c} [(7-\beta+a(1-\beta))c^4\xi^4 - 2(7+ac^2(1-\beta)-7\beta-7\beta^2+\beta^3)c^2\xi^2 + \\ & + (7+a(1-\beta))(1-2\beta^2)-13\beta-14\beta^2+18\beta^3)] + \frac{1-c^2\xi^2}{\beta} \left[(2+9\beta+4\beta^2 - \right. \\ & - 3\beta^3+\beta ac^2)\xi^2 + \left(\frac{11\beta^2-7\beta-2}{1-\beta} - \beta a \right) \right] - \pi\sqrt{1-\xi^2} [(2(1+\beta)^3+\beta ac^2)\xi^2 - \\ & - (2+6\beta+\beta a)] + \frac{3}{2}\pi i [-(1+\beta^2)c^2\xi^4 + 2\xi^2 - 1] \Big\} + \\ & + \frac{l}{6}(i\xi - \sqrt{1-\xi^2}) \frac{d^3v(0)}{dt^3} \end{aligned} \quad (3.4)$$

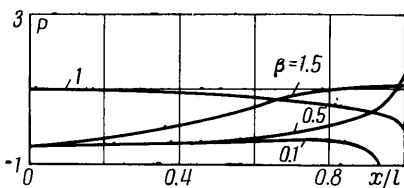
Заметим, что в (3.3), (3.4) при $\beta > 1$

$$\frac{1}{c} \ln \frac{1+c}{1-c} = \frac{2}{|c|} \operatorname{arc tg} |c|$$

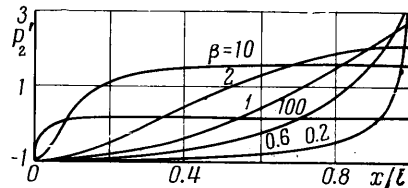
Формулы (2.6) позволяют вычислить коэффициенты (2.10)

$$\begin{aligned} -p_0(x) = & \varphi_1(u) + \frac{v^2(0)}{2(1-c^2u^2)} - g\beta l\sqrt{1-u^2} \\ -p_1(x) = & -2l \frac{d^2v(0)}{dt^2} \sqrt{1-u^2} \\ -p_2(x) = & 3\varphi_3(u) + \frac{\omega^2}{2(1-c^2u^2)} [2 - (1+\beta)u^2] \quad (u = x/l) \end{aligned} \quad (3.5)$$

На фиг. 1 приведены графики $p_t / \rho l v(0) = \sqrt{1 - u^2}$ кривых и $p_0 / v^2(0)$ при различных значениях β ; значение p_0 вычислено по (3.3), (3.5) без учета гидростатической составляющей давления. Вычисления показывают, что при $\beta \rightarrow \infty$ функция $p_0(x) \rightarrow 0$ при $x \in (0, l)$, а в случае $\beta \rightarrow 0$ $p_0(l) \rightarrow \infty$. При ударе дальнейшее погружение приводит к уменьшению импульсивных давлений в районе диаметральной плоскости.



Фиг. 1



Фиг. 2

Аналогично изменяются давления при равноускоренном погружении тела без начальной скорости. Согласно (2.9), (2.10), (3.1), (3.4), (3.5), имеем

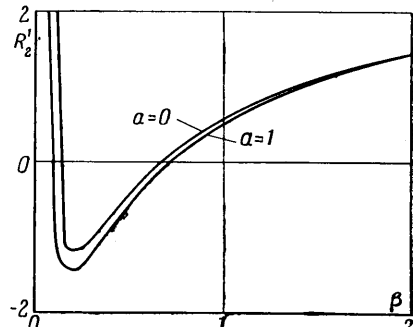
$$p / \rho = p_0 + t^2 p_2 + O(t^2), \quad p_0 = \omega \sqrt{l^2 - x^2}$$

Графики функции $p_2' = p_2 / \omega^2$, вычисленные по (2.8), (3.4), (3.5), построены на фиг. 2; сплошные линии соответствуют случаю бесконечных ускорений $d = 0$, штрих-пунктирные — $\omega = g$. Функция p_2 монотонно возрастает от $p_2(0) = -\omega^2$ до $p_2(l) > 0$. Величина $p_2(l) \in (0, \infty)$ является убывающей функцией относительно параметра $\beta \in (0, \infty)$. Значение $p_2(l) / \omega^2$ несколько уменьшается с ростом ускорения ω .

В рассматриваемом случае $\omega = \text{const}$ из (2.1), (2.5), (3.1) получим уравнение свободной поверхности

$$\eta = t^2 r_2 + O(t^2),$$

$$r_2 = \frac{\omega}{2(1-\beta)} \left(\frac{x}{\sqrt{x^2 - c^2 l^2}} - 1 \right)$$



Фиг. 3

Представляет интерес сила сопротивления жидкости равноускоренному погружению тела

$$R(t) = \rho [R_0 + t^2 R_2 + O(t^2)], \quad R_h = 2l \int_0^1 p_h(u) du$$

Согласно (3.1), (3.5), $R_0 = (\pi l^2 \omega) / 4$. Графики зависимости $R_2 / \omega^2 l = R_2'$ как функции параметра β , вычисленные по (2.8), (3.4), (3.5), представлены на фиг. 3.

ЛИТЕРАТУРА

Поступила 24 IV 1972

- Седов Л. И. Плоские задачи гидродинамики и аэродинамики. М., «Наука», 1966.
- Логвинович Г. В. Гидродинамика течений со свободными границами. Киев, «Наукова думка», 1969.
- Келдыш М. В., Седов Л. И. Эффективное решение некоторых задач для гармонических функций. Докл. АН СССР, 1937, т. 16, № 1.